

## 소결온도에 따른 $Mg_5B_4O_{15}$ (B=Ta, Nb) 세라믹스의 구조 및 마이크로파 유전 특성

김재식\*, 최의선\*, 이문기\*, 류기원\*\*, 이영희\*

\*광운대학교, \*\*여주대학

### Structural and Microwave Dielectric Properties of $Mg_5B_4O_{15}$ (B=Ta, Nb) Ceramics with Sintering Temperature

Jae-Sik Kim\*, Eui-Sun Choi\*, Moon-Kee Lee\*, Ki-Won Ryu\*\*, Young-Hie Lee\*  
\*Kwangwoon Univ., \*\*YeoJoo Col.

**Abstract** - In this study, structural and microwave dielectric properties of the  $Mg_5B_4O_{15}$  (B=Ta, Nb) cation-deficient perovskite ceramics. The specimens are prepared through the solid-state route. According to the XRD pattern,  $Mg_4Ta_2O_9$  and  $MgTa_2O_6$  phase exist in calcined and sintered  $Mg_5Ta_4O_{15}$  powder. Also  $Mg_4Ta_2O_9$  phase added with increasing sintering temperature. In the case of calcined and sintered  $Mg_5Nb_4O_{15}$  powder, single phase of  $Mg_5Nb_4O_{15}$  were appeared. The bulk density and quality factor of the  $Mg_5B_4O_{15}$  (B=Ta, Nb) ceramics were increased with sintering temperature in  $1400^{\circ}\text{C} \sim 1450^{\circ}\text{C}$ , but these were decreased in another sintering temperature. Dielectric constant of the  $Mg_5Ta_4O_{15}$  ceramics was increased continuously with increasing of sintering temperature. And the dielectric constant of the  $Mg_5Nb_4O_{15}$  ceramics was increased in  $1400^{\circ}\text{C} \sim 1450^{\circ}\text{C}$  but decreased in  $1475^{\circ}\text{C}$ . In the case of the  $Mg_5Ta_4O_{15}$  and  $Mg_5Nb_4O_{15}$  ceramics sintered at  $1450^{\circ}\text{C}$  for 5h, the dielectric constant, quality factor, and temperature coefficient of the resonant frequency (TCRF) were 8.2, 259,473 GHz,  $-10.91\text{ ppm}/^{\circ}\text{C}$  and 14, 37,350 GHz,  $-52.3\text{ ppm}/^{\circ}\text{C}$ , respectively.

### 1. 서 론

최근 고주파 통신 기술이 급격히 발달함에 따라 마이크로파 구성 요소로 응용되는 유전체 세라믹스 중 우수한 특성을 가지는 재료에 대한 연구가 요구되고 있다. 유전체 세라믹스는 소자의 소형화, 우수한 주파수 선택성, 온도에 안정한 소자 구현 등을 위하여 큰 유전 상수( $\epsilon_r$ ), 높은 품질계수( $Q \times f_r$ ), "0"에 가까운 공진주파수의 온도계수(TCRF,  $\text{ppm}/^{\circ}\text{C}$ )의 마이크로파 유전 특성을 가져야 한다.[1] 특히 포논 주파수 이하에서는 ( $f < 100\text{ GHz}$ ) 내부 유전 손실이 주파수에 비례하여 커지기 때문에 마이크로파 대역에서는 높은 품질계수 특성이 더욱 중요하다.[2] 따라서 고주파 대역에서 우수한 품질계수를 가지는 재료에 대한 연구가 요구되었고, 높은 품질계수의 특성을 갖는 물질로  $MgTiO_3$ ,  $SrTiO_3$  와 같은 복합페로브스카이트 구조를 가지는 재료에 대한 연구가 진행되었고,[3] 최근에는 복합페로브스카이트 구조에서 약간 변형된 Cation-deficient 페로브스카이트 구조가 많은 주목을 받고 있다.[4] 이 구조는  $AsB_4O_15$ 의 화학식을 가지고 있기 때문에 페로브스카이트구조인  $ABO_3$  화학식으로 줄여쓰면  $AB_{0.8}O_3$ , 즉 음이온 B의 자리가 부족한 형태가 되어서 Cation-deficient 페로브스카이트 구조라 불리워진다. Cation-deficient 페로브스카이트 구조를 가지는  $Ba_5Ta_4O_{15}$ ,  $Ba_5Nb_4O_{15}$  그리고  $Sr_5Ta_4O_{15}$ 의 존재 및 결정 구조에 대한 보고가 Galass와 Katz에 의하여 처음 발표되었다.[5]

본 논문에서는 높은 품질계수를 가지는 재료 개발을 위하여 Cation-deficient 페로브스카이트 구조를 가지는 물질 중  $Mg_5Ta_4O_{15}$  세라믹스와  $Mg_5Nb_4O_{15}$  세라믹스의 소결특성을 고찰하고 소결온도에 따른 구조 및 마이크로파 유전 특성을 조사하였다.

### 2. 본 론

#### 2.1 시편의 제조

본 실험에서는 일반소성법을 사용하여  $Mg_5B_4O_{15}$  (B=Ta, Nb) 세라믹스를 제조하였다. 출발물질로는  $MgO$ ,  $Ta_2O_5$ ,  $Nb_2O_5$  (high-purity, 99.9%)를 사용하였다.  $MgO$ ,  $Ta_2O_5$ ,  $Nb_2O_5$ 를  $Mg_5Ta_4O_{15}$ 와  $Mg_5Nb_4O_{15}$ 의 화학식량에 맞게 평방한 후 알코올을 분산매로 사용하여 지르코니아볼로 24시간동안 혼합, 분쇄하였다. 혼합, 분쇄한 파우더를  $100^{\circ}\text{C}$  전기오븐에서 충분히 건조한 후 알루미나 도가니에 넣어  $1200^{\circ}\text{C} \sim 1325^{\circ}\text{C}$ 의 온도범위에서 3시간 동안 하소하였다. 하소한 파우더를 재혼합분쇄한 후, 원통형 금형( $\Phi=12.8\text{mm}$ )에 넣고  $1400^{\circ}\text{C} \sim 1500^{\circ}\text{C}$ 의 온도범위에서 5시간동안 소결하였다. 하소 및 소결시 전기로의 온도상승율은  $5^{\circ}\text{C}/\text{min}$ .으로 하였다.

#### 2.2 측정

하소온도 및 소결온도에 따른 결정구조의 변화 및 고용체 형성과정을 고찰하고자 X-선 회절분석을 하였다. X-선은  $CuK\alpha$ ( $\lambda=1.542\text{Å}$ )을 사용하였으며, 스텝폭과 주사속도는 각각  $0.05\text{deg.}$ ,  $5\text{deg./min}$ .로

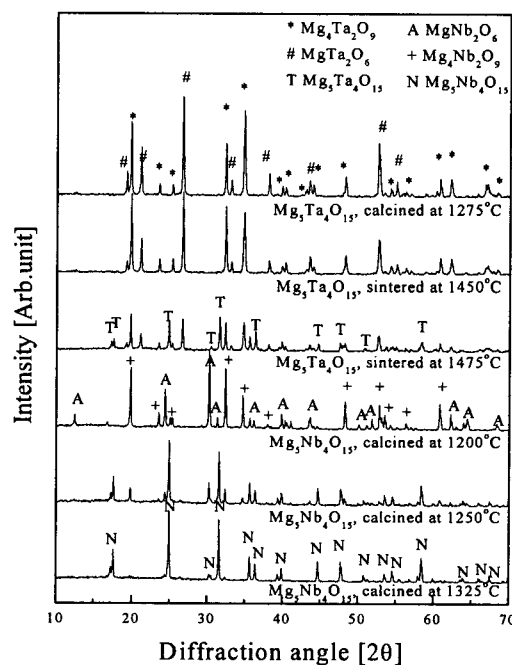
하였다. 주사현미경을 이용하여 결정립의 형태, 결정립계, 기공 등의 미세구조를 고찰하였다. 시편의 소결상태를 알아보기 위하여 Archimedes method를 이용하여 밀도를 측정하였다.

마이크로파 유전특성은 양면을 거울면 연마한 실린더형 시편들에 대해 Hakki와 Coleman에[6] 의해 제시된 평판형 공진기법(parallel plate method)으로 HP8757D Vector Analyzer를 이용하여 유전상수( $\epsilon_r$ )와 무부하 Q값을 측정하였고, 투파모드의 공동 공진기법(cavity resonant method)으로 공진주파수의 온도계수를 측정하였다. 공진주파수의 온도계수는  $25^{\circ}\text{C}$ 와  $85^{\circ}\text{C}$ 에서 측정된 공진주파수를 다음의 식에 넣어서 계산하였다.

$$TCRF = \left( \frac{1}{f_{25}} \right) \cdot \left( \frac{f_{85} - f_{25}}{60} \right) \cdot 10^6 (\text{ppm}/^{\circ}\text{C})$$

### 3. 결과 및 고찰

그림 1에 소결 및 하소 온도에 따른  $Mg_5B_4O_{15}$  (B=Ta, Nb) 세라믹스의 X-선 회절 패턴을 나타내었다.  $Mg_5Ta_4O_{15}$  세라믹스의 경우 모든 하소온도와  $1400^{\circ}\text{C} \sim 1450^{\circ}\text{C}$ 의 소결온도에서  $Mg_4Ta_2O_9$  상과  $MgTa_2O_6$  상이 나타났다. 그러나  $1475^{\circ}\text{C}$ 의 소결온도에서  $Mg_5Ta_4O_{15}$  상이 나타났고, 온도가 증가함에 따라  $Mg_5Ta_4O_{15}$  상의 회절 강도가 증가하였다. 하소 또는 소결한  $Mg_5Ta_4O_{15}$  세라믹스에서의  $Mg_4Ta_2O_9$  상과  $MgTa_2O_6$  상의 존재는 D. C. Baskin 등이 보고한  $MgO-Ta_2O_5$  계의 상평형도에 대한 보고와 일치한다.[8] 하지만  $1475^{\circ}\text{C}$  이상의 소결온도에서  $Mg_5Ta_4O_{15}$  상의 형성은 높은 소결온도에 의한 충분한 열에너지의 공급으로  $Mg_4Ta_2O_9$  상과  $MgTa_2O_6$  상이 반응하여  $Mg_5Ta_4O_{15}$  상이 형성되는 것으로 생각된다.  $Mg_5Nb_4O_{15}$  세라믹스의 경우,  $1225^{\circ}\text{C}$  이하의 하소온도에서는  $Mg_4Nb_2O_6$  상과  $MgNb_2O_6$  상이 공존하였지만, 온도가 증가함에 따라  $Mg_5Nb_4O_{15}$  상이 형성되었고  $1325^{\circ}\text{C}$ 의 하소온도에서는 단일상이 형성되었다.



<그림 1> 하소 및 소결온도에 따른  $Mg_5B_4O_{15}$  (B=Ta, Nb) 세라믹스의 X-선 회절 패턴

소결온도에 따른  $Mg_5B_4O_{15}$  ( $B=Ta, Nb$ ) 세라믹스의 소결 밀도를 그림 2에 나타내었다. 소결온도가 증가함에 따라 밀도가 증가하다가 1450°C에서 최대값을 나타내었고, 그 이상의 온도에서는 감소하였다. 이 현상은 소결온도가 증가함에 따라  $Mg_5B_4O_{15}$  ( $B=Ta, Nb$ ) 세라믹스의 치밀화가 증가되어 밀도가 증가하는 것으로 생각된다. 하지만  $Mg_5Ta_4O_{15}$  세라믹스의 경우  $Mg_4Ta_2O_9$  상과  $Mg_2Ta_6O_6$  상의 과잉소결과  $Mg_5Ta_4O_{15}$  상의 충분하지 않은 치밀화로 인한 기공의 증가로 1450°C 이상의 소결온도에서 밀도가 감소하는 것으로 생각된다. 또한  $Mg_5Nb_4O_{15}$  상의 과잉소결로  $Mg_5Nb_4O_{15}$  세라믹스의 경우에서도 밀도의 감소가 나타나는 것으로 생각된다.

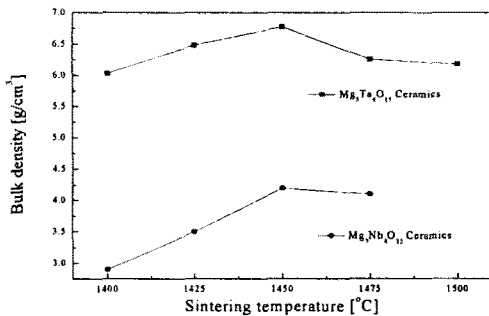


그림 2) 소결온도에 따른  $Mg_5B_4O_{15}$  ( $B=Ta, Nb$ ) 세라믹스의 소결 밀도

그림 3에 소결온도에 따른  $Mg_5B_4O_{15}$  ( $B=Ta, Nb$ ) 세라믹스의 유전 상수를 나타내었다.  $Mg_5Nb_4O_{15}$  세라믹스의 경우 밀도와 유사한 경향을 나타내며 1450°C의 소결온도에서 최대값을 나타내었다. 이는 소결온도가 증가함에 따라 기공이 감소하기 때문에 유전 상수가 증가하는 것으로 생각된다. 하지만  $Mg_5Ta_4O_{15}$  세라믹스는 밀도의 경향과 상관없이 소결온도의 증가에 따라 지속적인 유전상수의 증가를 나타내었다. 1450°C 이하의 소결온도에서는  $Mg_4Ta_2O_9$  상과  $Mg_2Ta_6O_6$  상의 치밀화가 증가함에 따라 기공이 감소하여 유전상수는 증가하는 것으로 생각되지만 1475°C 이상의 소결온도에서는 유전상수는 기공의 존재보다는  $Mg_5Ta_4O_{15}$  상의 형성에 의하여 결정되는 것으로 생각된다.  $Mg_5Ta_4O_{15}$  상은 높은 소결온도에 의하여 1475°C~1500°C의 소결온도에서 다소의 기공을 형성하지만  $Mg_4Ta_2O_9$  상과  $Mg_2Ta_6O_6$  상보다 높은 유전상수를 가지기 때문에 시편의 밀도는 감소하지만 유전상수는 증가하는 것으로 생각된다.

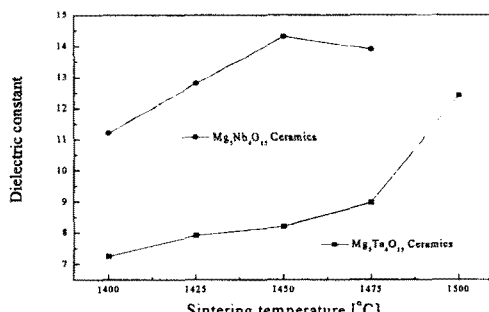


그림 3) 소결온도에 따른  $Mg_5B_4O_{15}$  ( $B=Ta, Nb$ ) 세라믹스의 유전 상수

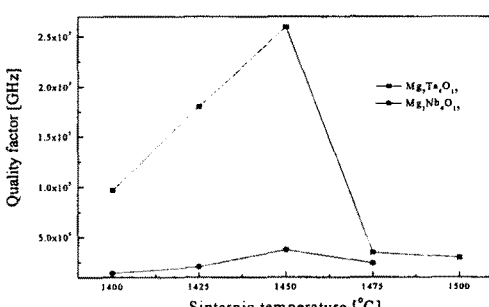


그림 4) 소결온도에 따른  $Mg_5B_4O_{15}$  ( $B=Ta, Nb$ ) 세라믹스의 품질계수

소결온도에 따른  $Mg_5B_4O_{15}$  ( $B=Ta, Nb$ ) 세라믹스의 품질계수를 그림 4에 나타내었다. 그림 2의 소결 밀도와 유사한 경향을 나타내며 1450°C의 소결온도에서 최대값을 나타내었다. 이 현상은 소결온도가 증가함에 따라  $Mg_4B_2O_9$  상과  $Mg_2B_6O_6$  상의 치밀화 증가로 인한 기공의 감소

로 품질계수가 증가하는 것으로 생각된다. 그러나 1475°C 이상의 소결온도에서는  $Mg_4B_2O_9$  상과  $Mg_2B_6O_6$  상의 과잉소결로 품질계수가 감소하는 것으로 생각된다. 또한  $Mg_5Ta_4O_{15}$  세라믹스의 경우에는  $Mg_5Ta_4O_{15}$  상의 형성에 의한 기공 등의 미세구조 결합이 증가하여 품질계수의 급격한 감소가 나타나는 것으로 생각된다.

표 1에 1450°C에서 5시간동안 소결한  $Mg_5B_4O_{15}$  ( $B=Ta, Nb$ ) 세라믹스의 마이크로파 유전 특성을 나타내었다.  $Mg_5Ta_4O_{15}$  세라믹스와  $Mg_5Nb_4O_{15}$  세라믹스 공진주파수의 온도계수, TCR는 각각  $-10.91\text{ ppm}/\text{°C}$ 와  $-52.3\text{ ppm}/\text{°C}$ 를 나타내었다.

표 1)  $Mg_5B_4O_{15}$  ( $B=Ta, Nb$ ) 세라믹스의 마이크로파 유전 특성

	$\epsilon_r$	$Q \times f_r$ [GHz]	$\tau_f$ [ppm/ $^{\circ}\text{C}$ ]
$Mg_5Ta_4O_{15}$ ceramics sintered at 1450°C	8.2	259,473	-10.91
$Mg_5Nb_4O_{15}$ ceramics sintered at 1450°C	14	37,350	-52.3

#### 4. 결론

소결온도에 따른  $Mg_5B_4O_{15}$  ( $B=Ta, Nb$ ) 세라믹스의 구조 및 마이크로파 유전 특성을 조사하여 다음과 같은 결과를 얻었다.

1.  $Mg_5Ta_4O_{15}$  세라믹스의 X-선 회절 분석 결과,  $Mg_4Ta_2O_9$  상과  $Mg_2Ta_6O_6$  상이 공존하였다. 또한 1475°C~1500°C의 소결온도에서는  $Mg_5Ta_4O_{15}$  상이 나타났다. 또한  $Mg_5Nb_4O_{15}$  세라믹스의 경우 1325°C의 하소온도에서 단일상을 얻을 수 있었다.
2.  $Mg_5B_4O_{15}$  ( $B=Ta, Nb$ ) 세라믹스의 밀도와 품질계수는 소결온도에 증가함에 따라 증가하였고 1450°C의 소결온도에서 최대값을 나타내었다. 1475°C 이상의 소결온도에서는 밀도와 품질계수는 감소하였다.
3.  $Mg_5Ta_4O_{15}$  세라믹스의 유전상수는 소결온도가 증가함에 따라 지속적인 증가를 나타내었고,  $Mg_5Nb_4O_{15}$  세라믹스는 밀도와 유사한 경향을 나타내었다.
4. 1450°C에서 5시간 동안 소결한  $Mg_5Ta_4O_{15}$  세라믹스와  $Mg_5Nb_4O_{15}$  세라믹스 유전상수, 품질계수, 공진주파수의 온도계수는 각각 8.2, 259,473 GHz,  $-10.91\text{ ppm}/\text{°C}$  그리고 14, 37,350 GHz,  $-52.3\text{ ppm}/\text{°C}$  이었다.

이상의 결과로  $Mg_5B_4O_{15}$  ( $B=Ta, Nb$ ) 세라믹스는 높은 품질계수를 가지는 것을 확인하였다. 고주파 대역에서 동작하는 마이크로 구성 소자로의 응용이 가능할 것으로 생각된다. 하지만 차후의 연구에서 단일의  $Mg_5Ta_4O_{15}$  상을 형성시킴으로서 보다 우수한 특성을 얻을 수 있을 것으로 생각된다. 또한  $Mg_5B_4O_{15}$  ( $B=Ta, Nb$ ) 세라믹스의 공진주파수의 온도계수 특성을 향상시키는 연구가 진행되어야 할 것으로 생각된다.

#### Acknowledgements

This work was supported by the Realistic 3D-IT Research Program of Kwangwoon University under the National Fund from the Ministry of Education and Human Resources Development (2005).

#### 참고문헌

- [1] Y. Konishi, "Novel dielectric waveguide components-microwave applications of new ceramic materials", Proc. IEEE 79, p.726, 1991.
- [2] K. Wakino, D. A. Sagala and H. Tamura, Jan. J. Appl. Phys., part 1, Vol. 24, p.1042, 1985.
- [3] 최의선, 이문기, 류기원, 배선기, 이영희, "소결온도에 따른 0.9MgTiO<sub>3</sub>-0.1SrTiO<sub>3</sub> 세라믹스의 구조 및 마이크로파 유전특성", 대한전기학회논문지, Vol. 49, No. 5, p.294, 2000.
- [4] C. Vineis, P. K. Davies, T. Negas and S. Bell, MRS Bull., Vol. 31, p.431, 1996.
- [5] F. Galasso, L. Katz, Acta Cryst., Vol. 14, p.647, 1961.
- [6] B. W. Hakki et al., "A Dielectric Resonator Method of Measuring Inductive Capacities in the Millimeter Range", IRE Trans. on Microwave Theory and Techniques, Vol.MTT-24, No.10, 1960.
- [7] D. C. Baskin, Y. Chell, "Phase studies in the binary system MgO-Ta<sub>2</sub>O<sub>5</sub>", J. Am. Ceram. Soc., Vol. 46, No. 4, p.174, 1963.